

於：日大理工 (2001年4月25日)

無限個の  
Pauli-Villars  
場を用いた  
ゲージ場の  
正則化

hep-th/0012043

日塔光一

(千葉大)

# イントロダクション

場の理論 → 発散を含む  
有限化、最後に  $\rightarrow \infty$

ゲージ場 → ゲージ対称性  
正則化でも対称性を保つべき

## 不変な正則化

次元正則化 (現在、最も強力)

○ゲージ不変性、実用性、...

×時空の次元に依存する対称性

$\epsilon_{\mu\nu\rho}$   SUSY 取り扱いが難しい

無限個の PV 場によるカイラル不変な正則化

(物質場)

[Frolov & Slavnov (1993)]

これをゲージ場に適用できないか？

次元に依存する対称性をも不変に保つ正則化？

non-Abelian

2-loop 以上は PV だけでは不変性 ×

ハイブリッドな正則化 (HCD+PV) を使う

# やること

## 課題

ハイブリッド正則化法 (HCD+ 無限個 PV) を用いて4次元 YM 理論を正則化し、不変な正則化法の可能性を探る

## 具体的に

- ・ 無限個の PV 場で正しい  $\beta$  関数が出るか？
- ・ 二次発散は抑えられているか？

・ イントロダクション

・ **ハイブリッド正則化**

- ・ 高階微分
- ・ Pauli-Villars

・ **1-Loop の計算**

- ・ ダイアグラム
- ・ 無限和の取り方
- ・ くりこみ
- ・ ゲージ固定項

・ **まとめ**

・ **他の理論への応用**

# 4次元 Yang-Mills 理論

作用  $S = S_{\text{YM}} + S_{\text{GF}}$

$$S_{\text{YM}} = \frac{1}{4} \int d^4x F_{\mu\nu}^a F^{\mu\nu a}$$

$$S_{\text{GF}} = \int d^4x \left[ \frac{\xi_0}{2} b^a b^a - b^a (\partial^\mu A_\mu)^a + \bar{c}^a (\partial_\mu D^\mu c)^a \right]$$

$$F_{\mu\nu}^a = \partial_\mu A_\nu^a - \partial_\nu A_\mu^a + g f^{abc} A_\mu^b A_\nu^c$$

$$D_\mu^{ac} = \delta^{ac} \partial_\mu + g f^{abc} A_\mu^b$$

$A_\mu^a$  ゲージ場       $b^a$  補助場

$c^a$  ゴースト場       $\bar{c}^a$  反ゴースト場

$\xi_0$  ゲージ固定変数

4次元ユークリッド時空で考える

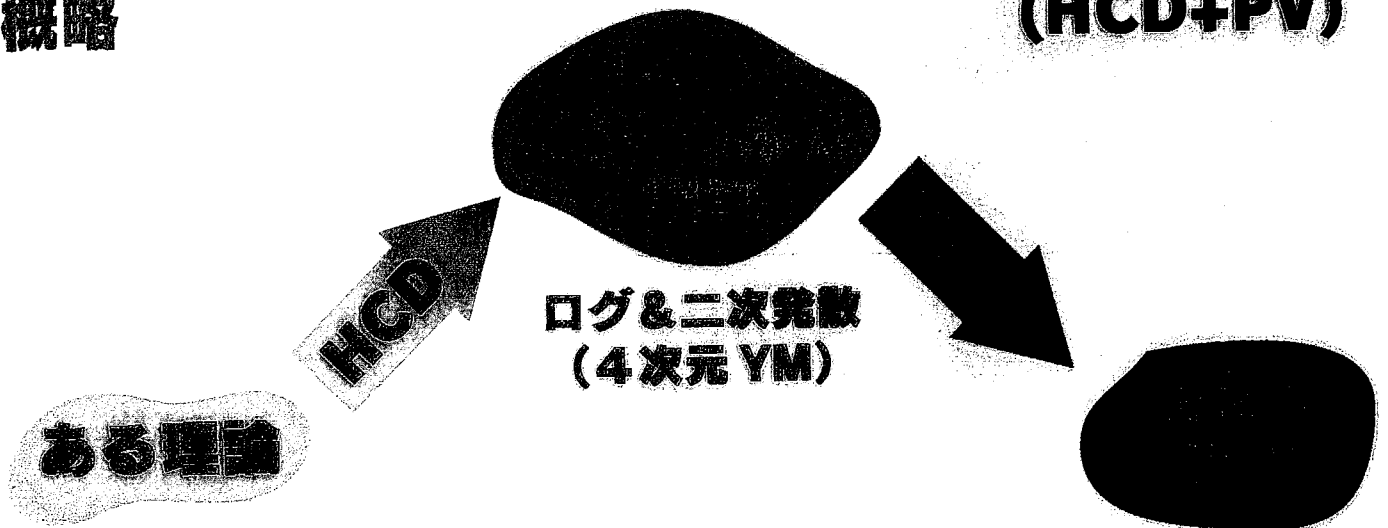
計量

$$g_{\mu\nu} = \begin{pmatrix} 1 & & & \\ & 1 & & \\ & & 1 & \\ & & & 1 \end{pmatrix}$$

# ハイブリッドな正則化法

概略

(HCD+PV)



歴史

オリジナルの方法

[A.A.Slavnov ('70)]

間違った  $\beta$  関数の係数

(4次元 YM 理論)

改良

正しい  $\beta$  関数

PV 場にゲージ固定

[M.Asorey et al. (1996)]

[P.Pronin et al. (1997)]

(HCD+PV)

HCD+ 次元正則化

[C.P. Martin et al. (1995)]

× 目的にそぐわない

- ・ 二次発散も現われる

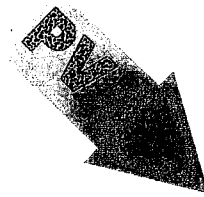
# ハイブリッドな正則化法 (HCD+PV)

1-loop  
発散のみの  
理論

ログ&二次発散  
(4次元 YM)

HCD

ある理論



オリジナルの方法  
[A.A.Slavnov ('70)]

間違った  $\beta$  関数の係数  
(4次元 YM 理論)

改良



正しい  $\beta$  関数



PV 場にゲージ固定  
[M.Asorey et al. (1996)]

HCD+ 次元正則化  
[C.P. Martin et al. (1995)]

[P.Pronin et al. (1997)]

× 目的にそぐわない

(HCD+PV)

# 高階微分による正則化

ゲージ不変な部分

4次元 YM 理論

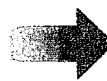
## HCD 作用

$$S_{\text{HCD}} = \frac{1}{4\Lambda^4} \int d^4x (D^2 F_{\mu\nu})^a (D^2 F^{\mu\nu})^a$$

一般的な形：
$$\frac{1}{4\Lambda^{2n}} \int d^4x (D^n F_{\mu\nu})^a (D^n F^{\mu\nu})^a$$

$$\omega = 4 - 2n(L - 1) - E_A$$

プロパゲータ：収束性が上がる  
 バーテックス：収束性が下がる



1-loop の  
発散が残る

$S_{\text{YM}} + S_{\text{GF}} + S_{\text{HCD}}$  から得られるプロパゲータ

$$\frac{\Lambda^4}{p^4(p^4 + \Lambda^4)} (p^2 \delta_{\mu\nu} - p_\mu p_\nu)$$

$p^{-6}$  収束性が上がった

$$+ \xi_0 \frac{p_\mu p_\nu}{p^4}$$

$p^{-2}$  変わらず!



$S_{\text{GF}}$  を修正

$$\frac{\Lambda^4}{p^4(p^4 + \Lambda^4)} (p^2 \delta_{\mu\nu} - p_\mu p_\nu) +$$

$H^2(p^2/\Lambda^2)$ :  $p$  の多項式

$$\frac{\xi_0}{H^2(p^2/\Lambda^2)} \frac{p_\mu p_\nu}{p^4}$$

$p^{-6}$

# 高階微分による正則化

ゲージ固定関数

ゲージ固定項 [Slavnov, Martin & Ruiz, etc]

$$S_{GF}^H = \int_x \left[ \frac{\xi_0}{2H^2} b^2 - b(\partial^\mu A_\mu) + \bar{c}(\partial_\mu D^\mu c) \right]$$

もう一つの取り方 (こちらを採用)

$$S_{GF}^H = \int_x \left[ \frac{\xi_0}{2} b^2 - bH(\partial^\mu A_\mu) + \bar{c}H(\partial_\mu D^\mu c) \right]$$

BRST 不変性からゴーストにも必要

両者は実質的に同じもの

$$\{b, \bar{c}\} \longleftrightarrow \{Hb, H\bar{c}\}$$

入れ替えで交互に移る

しかし、PV 場の違いが出る



二次発散の相殺に寄与



# Pauli-Villars 法

生成汎関数

$$S_A = S_{YM} + S_{HCD} + S_{GF}^H$$

$$Z[J, \chi, \eta, \bar{\eta}] = \int \mathcal{D}A_\mu \mathcal{D}b \mathcal{D}\bar{c} \mathcal{D}c \exp[-\text{Source}]$$

$$\times \prod_{j=1}^{\infty} \left[ \det^{-\frac{\alpha_j}{2}} A_j \right] \left[ \det^{-\frac{\alpha_{-j}}{2}} A_{-j} \right]$$

ゲージ場に対するPV場

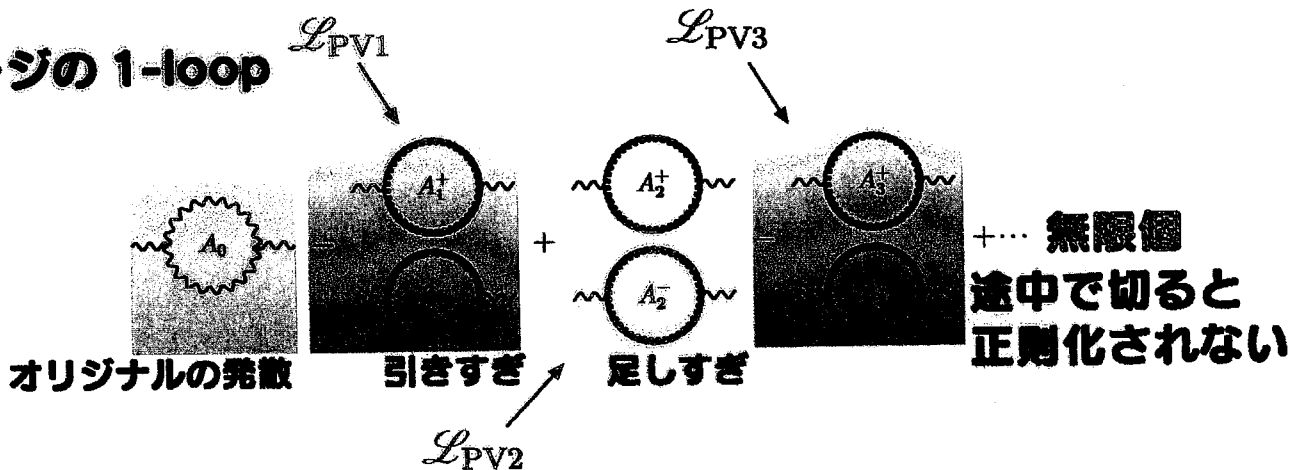
二つの場を一組にする

$$\times \prod_{i=1}^{\infty} \left[ \det^{\gamma_i} C_i \right] \left[ \det^{\gamma_{-i}} C_{-i} \right]$$

ゴースト場に対するPV場

## 二つの PV 場による正則化のイメージ

ゲージの 1-loop



フェルミオンのものとボソンのものを交互に入れる

⇒ PV 条件

$$\alpha_j = (-1)^j$$

$$\gamma_i = (-1)^i$$

# PV場の具体形

## PV場のBRST変換

$\phi_j \rightarrow \phi_j + \theta (\delta_B \phi_j)$  積分変数の変換

$$\delta_B A_{j\mu}^a = g f^{abc} A_{j\mu}^b c^c, \quad \delta_B b_j^a = g f^{abc} b_j^b c^c, \quad \text{変換のもとで不変になるように作用を構成}$$

$$\delta_B c_i^a = g f^{abc} c_i^b c^c, \quad \delta_B \bar{c}_i^a = g f^{abc} \bar{c}_i^b c^c.$$

## ゲージ場に対するPV場

$$\left[ \det^{-\frac{\alpha_j}{2}} A_j \right] = \int \mathcal{D}A_{j\mu} \mathcal{D}b_j \exp[-S_{M_j} - S_{b_j}]$$

$$S_{M_j} = \frac{1}{2} \int d^4x d^4y A_{j\mu}^a(x) \left[ \frac{\delta^2 S_\Lambda}{\delta A_\mu^a(x) \delta A_\nu^b(y)} - M^2 \delta^{ab} g^{\mu\nu} \delta(x-y) \right] A_{j\nu}^b(y)$$

ゲージ固定変数

$$S_{b_j} = \int d^4x \left[ \frac{1}{2} b_j^a b_j^a - b_j^a H'(D^\mu A_{j\mu}^a) \right]$$

補助場

補助場に対する高階微分項

PV場の質量項

$M_j = M|j|$   
3次元のパリティ不変性から

$$H' \left( \frac{D^2}{\Lambda^2} \right) = \left( 1 + \frac{D^4}{\Lambda^4} \right)^{\frac{1}{2}} \quad \text{共変微分の数}$$

## ゴースト場に対するPV場

$$\left[ \det^{\gamma_i} C_i \right] = \int \mathcal{D}\bar{c}_i \mathcal{D}c_i \exp \left[ \int d^4x \left[ \bar{c}_i^a H'(D_\mu D^\mu c_i)^a - m_i^2 \bar{c}_i^a c_i^a \right] \right]$$

$m_i = m|i|$

## オリジナル場との比較

いたるところで  $\partial_\mu \rightarrow D_\mu$

⇒ バーテックスに違い

# 1-loop の計算

作用の分解 YM からの寄与と HCD からの寄与とに分ける

$$\int d^4x \Phi(x) (K + V + M^2) \Phi(x) \leftarrow \text{任意の場}$$

相互作用部分  $V = V_0 + \frac{1}{\Lambda^4} V_\Lambda$

運動項部分  $K = K_0 + \frac{1}{\Lambda^4} K_\Lambda$

YMからの寄与  $V_\Lambda$

HCDからの寄与  $K_\Lambda$

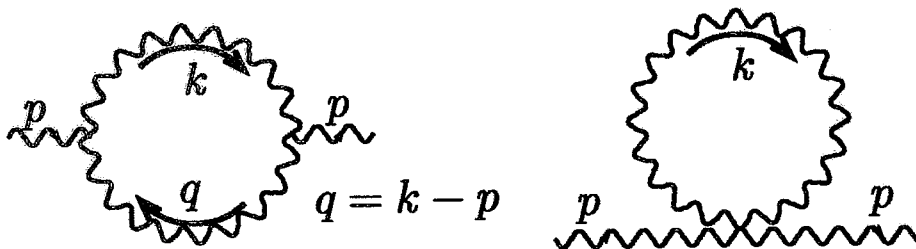
この場合のプロパゲータ

$$\frac{1}{K + M^2} = \frac{1}{K_0 + M^2} \left( 1 - \frac{K_\Lambda}{K_0 + M^2} \Lambda^{-4} + O(\Lambda^{-8}) \right)$$

作用の分解によって  $\Lambda^{-4}$  で展開可能  $\Lambda^{-4}$  まで考える

スケール  $\frac{M}{\Lambda} = \text{定数}$  ファイマン・ゲージ  $\xi_j = 1$

運動量のアサイン 全てのループで同じように取る



PV 場の無限和の取り方

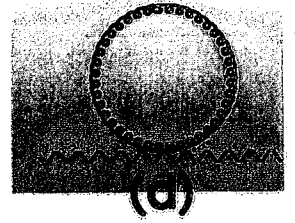
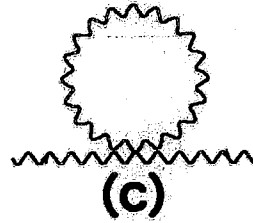
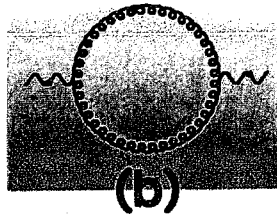
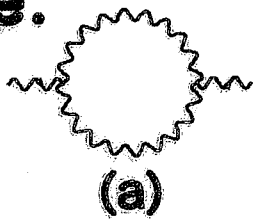
$$\sum_{\substack{j=-\infty \\ j \neq 0}}^{\infty} \sim \text{loop}(A_{j\mu}) \rightarrow \sum_{j=-\infty}^{\infty} \sim \text{loop}(A_{j\mu}) - \text{loop}(A_{0\mu})$$

massless ループを無理やり作る

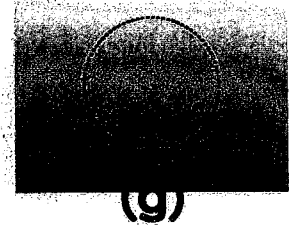
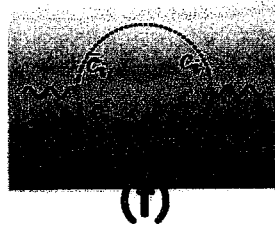
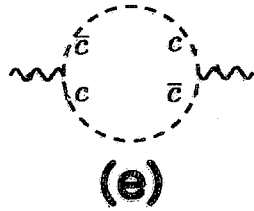
# 現われるダイアグラム

$\Lambda^0$ 、 $\Lambda^{-4}$  の両方に現れるダイアグラム

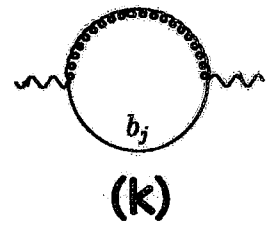
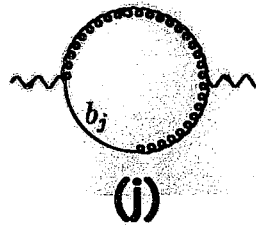
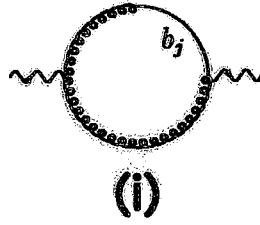
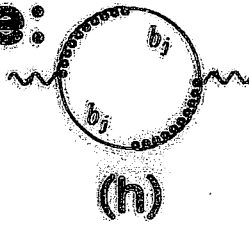
**A-Type:**



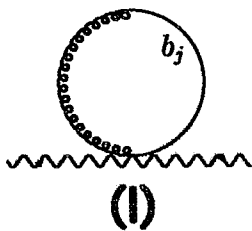
**C-Type:**



**B-Type:**



$\Lambda^{-4}$  のみに現れるダイアグラム

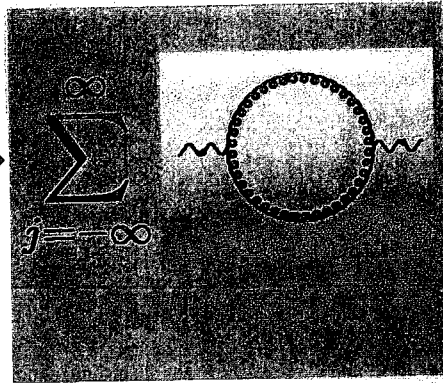
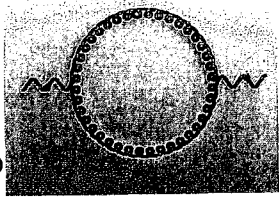


色なし：オリジナル場  
色付き：PV場

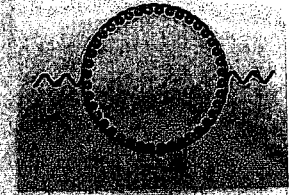
1つ  
無限個

# 実際に寄与する部分

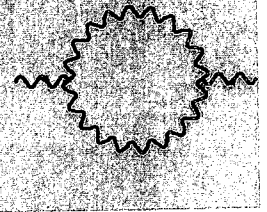
$$\sum_{\substack{j=-\infty \\ j \neq 0}}^{\infty}$$



massless

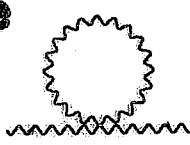


ファイマン則が同じため  
キャンセルする



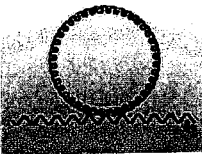
ゲージ場からの寄与が massless PV 場の役割をする

A-Type

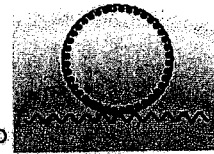


$$+$$

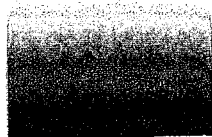
$$\sum_{\substack{j=-\infty \\ j \neq 0}}^{\infty}$$



$$\sum_{j=-\infty}^{\infty}$$



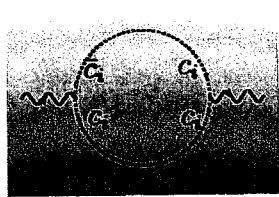
無限和



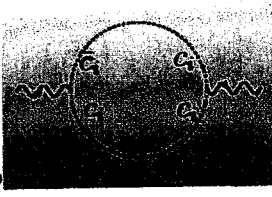
この2つのグループには  
massless PV 場が必要

B- & C-Type

$$\sum_{\substack{j=-\infty \\ j \neq 0}}^{\infty}$$

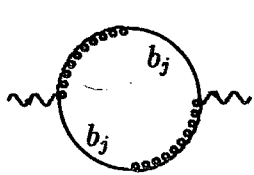


$$\sum_{j=-\infty}^{\infty}$$

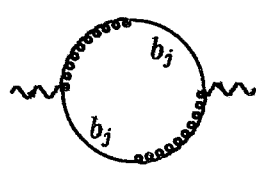


massless

$$\sum_{\substack{j=-\infty \\ j \neq 0}}^{\infty}$$



$$\sum_{j=-\infty}^{\infty}$$



無限和

おつり

# 計算結果 (1)

二次発散

$\Lambda^0$

$\Lambda^{-4}$

	無限和	massless	無限和	massless
A:	+1/10 $M^2$	0 $M^2$	-18/77 $M^6/\Lambda^4$	0 $M^6/\Lambda^4$
B:	-1/10	+5/6	+18/77	-2/105
C:	0	-5/6	0	+2/105

相殺している!

Log 発散

	$p^2 \delta_{\mu\nu}$	$p_\mu p_\nu$	$p^2 \delta_{\mu\nu}$	$p_\mu p_\nu$
A:	+19/3 $\ln M$	-22/3	0 $\ln M$	0
B:	+21/3	-18/3	-21/3	+18/3
C:	+4/3	-4/3	-3/3	+6/3

$$\frac{g^2 c_\nu \delta^{ab}}{32\pi^2} \left( \text{[Redacted]} + \frac{4}{3} \ln m - \frac{24}{3} \ln M \right) (p^2 \delta_{\mu\nu} - p_\mu p_\nu)$$

$$\Pi_{\mu\nu}^{ab}(p) \Big|_{\text{div}} = \frac{g^2 c_\nu \delta^{ab}}{8\pi^2} \left( \frac{5}{3} \right) \ln M (p^2 \delta_{\mu\nu} - p_\mu p_\nu)$$

# 計算結果 (1)

二次発散

$\Lambda^0$

$\Lambda^{-4}$

	無限和 massless	無限和 massless	無限和 massless	無限和 massless
A:	$+1/10$	$0$	$-18/77$	$-2/105$
B:	$-1/10$	$+5/6$	$+18/77$	$-2/105$
	$m^2$		$m^6/\Lambda^4$	

相違している!

Log 発散

	$p^2 \delta_{\mu\nu}$	$p_\mu p_\nu$	$p^2 \delta_{\mu\nu}$	$p_\mu p_\nu$
A:	$0$	$22/3$	$0$	$0$
B:	$+21/3$	$-18/3$	$-21/3$	$+18/3$
	$\ln m$		$\ln M$	

$$\frac{g^2 c_v \delta^{ab}}{32\pi^2} \left( \dots - \frac{24}{3} \ln M \right) (p^2 \delta_{\mu\nu} - p_\mu p_\nu)$$

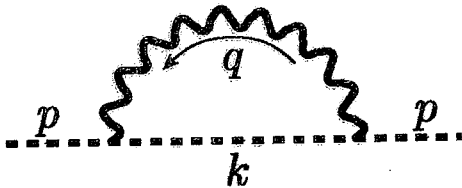
$M = m = \mathcal{M}$  の下では

$$\Pi_{\mu\nu}^{ab}(p) \Big|_{\text{div}} = \frac{g^2 c_v \delta^{ab}}{8\pi^2} \left( \frac{5}{3} \right) \ln M (p^2 \delta_{\mu\nu} - p_\mu p_\nu)$$

# くりこみ (1)

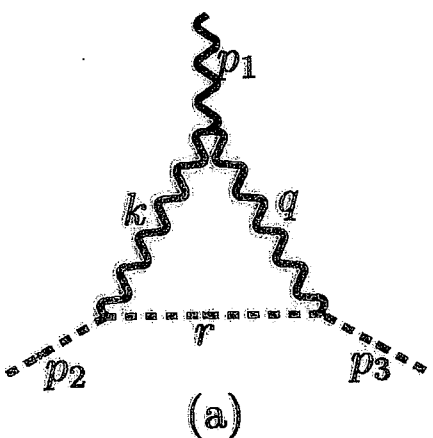
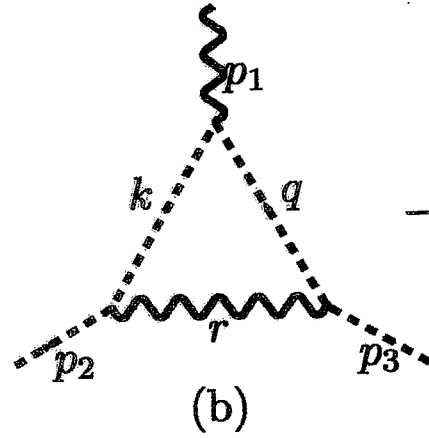
## 必要なダイアグラム

### ゴーストの自己エネルギー



$$-\frac{g^2 c_v \delta^{ab}}{16\pi^2} p^2 \ln M$$

### ゲージ・ゴースト・ゴースト頂点

$$-\frac{ig^3 c_v f^{abc}}{32\pi^2} p_{2\mu} \ln M$$

積分の分子が外線運動量に依存するため  
 $\Lambda^{-4}$  からの発散なし



有効作用として

$$S = S_{\text{YM}} + S_{\text{GF}}$$

高階微分を加える前の作用



# くりこみ (2)

## くりこみ定数

3個の「くりこみ定数」でくりこまれる

$$A_{\mu\text{bare}}^a = z_3^{\frac{1}{2}} A_{\mu}^a, \quad c_{\text{bare}}^a = z_c^{\frac{1}{2}} c^a, \quad \bar{c}_{\text{bare}}^a = z_c^{\frac{1}{2}} \bar{c}^a,$$

$$b_{\text{bare}}^a = z_3^{-\frac{1}{2}} b^a, \quad g_{\text{bare}} = z_1 z_3^{-\frac{3}{2}} g, \quad \xi_{0\text{bare}} = z_3 \xi_0.$$

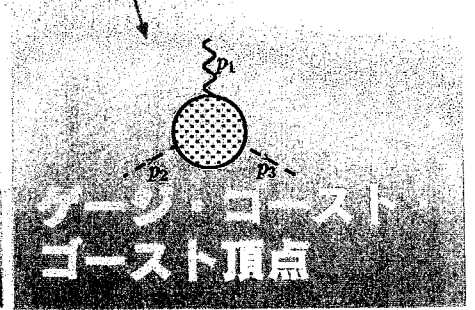
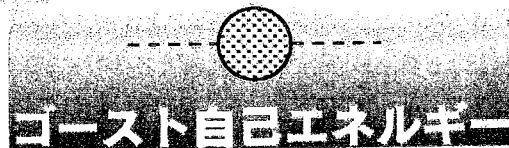
$$\underbrace{\mathcal{L}_{\text{bare}}}_{\text{発散}} = \underbrace{\mathcal{L}}_{\text{有限}} + \underbrace{\mathcal{L}_{\text{count}}}_{\text{発散}}$$

1-loop との対応を見る

$$z_i = 1 + \hbar z_i^{(1)} + O(\hbar^2)$$

$$\mathcal{L}_{\text{count}} = \frac{1}{2} (z_3 - 1) (\partial_\nu A_\mu - \partial_\mu A_\nu)^2 + O(A_\mu^3)$$

$$+ (z_c - 1) \bar{c} \partial_\lambda \partial^\lambda c - (z_c z_1 z_3^{-1} - 1) g f^{abc} (\partial_\mu \bar{c}^a) A_\mu^b c^c$$



## 計算結果と比較して

$$z_3^{(1)} \Big|_{\xi_0=1} = \frac{g^2 c_v}{16\pi^2} \frac{5}{3} \ln M^2$$

$$z_3^{(1)} \Big|_{\xi_0=1} = \frac{g^2 c_v}{16\pi^2} \frac{1}{2} \ln M^2$$

$$z_3^{(1)} \Big|_{\xi_0=1} = \frac{g^2 c_v}{16\pi^2} \frac{2}{3} \ln M^2$$

$$\beta(g, \xi_0) \Big|_{\xi_0=1} = -\frac{g^3}{16\pi^2} \left( \frac{11}{3} \right) c_v + O(g^5)$$

よく知られた値

$$\gamma(g, \xi_0) \Big|_{\xi_0=1} = -\frac{g^2}{16\pi^2} \left( \frac{5}{3} \right) c_v + O(g^4)$$

正則化法として正しい

# もう一つのゲージ固定項

$$S_{GF}^H = \int_x \left[ -\frac{\xi_0}{2H^2} b^2 - b(\partial^\mu A_\mu) + \bar{c}(\partial_\mu D^\mu c) \right]$$

$\Lambda^{-4}$  のオーダーに異変  $\Lambda^0$  のオーダーは変わらず

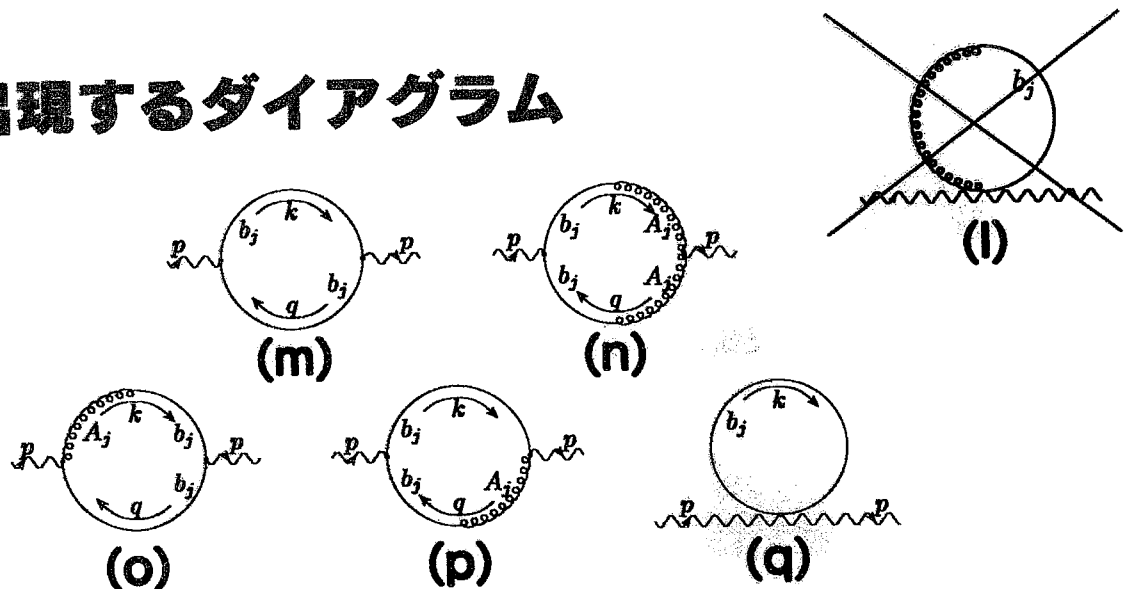
ゴーストからの寄与なし

➔ 相殺機構が変わる

ゲージ場と補助場の Feynman 則に変更

➔ 出現するダイアグラムに変化

## 新たに出現するダイアグラム



# 計算結果 (2)

16/18

$\Lambda^0$

$\Lambda^{-4}$

	無限和	massless	無限和	massless
	0	0	$\neq 18/77$	0
B:	-1/10	+5/6	+12/77	0



二次発散が残る!

さっきと同じ

## PV for Ghost のアクション

$$\bar{c}_i^a (D_\mu D^\mu c_i)^a - m_i \bar{c}_i^a c_i^a \not\leftrightarrow \bar{c}_i^a H' (D_\mu D^\mu c_i)^a - m_i \bar{c}_i^a c_i^a$$

再定義で入れ替えられない

## ゲージ固定項の高階微分に問題

何に対する高階微分か?

もともと:

ゲージ場のプロパゲータの収束性の向上

➡ ゲージ場に対する高階微分であるべし

~~$$\frac{\xi_0}{2H^2} b^2 = b(\partial^\mu A_\mu) + c(\partial_\mu D^\mu c)$$~~

$$\frac{\xi_0}{2} b^2 = b \mathbb{H}(\partial^\mu A_\mu) + c \mathbb{H}(\partial_\mu D^\mu c)$$

# まとめ

## やったこと

ハイブリッド正則化法による 高階微分 +  
4次元 YM 理論の正則化 無限個の PV 場

## 結果

正しい  $\beta$ 、 $\gamma$  関数の値が出た

- ・ Feynman ゲージで良く知られた値
- ・ 正則化法として使えうる

二次発散について

- ・ ゲージ固定関数に対する高階微分に注意
- ・  $\Lambda$  の各オーダーで同様な相殺機構が働く

## これから

他の理論への応用

- ・ 三次元 Yang-Mills-Chern-Simons 理論
- ・ SUSY

実用的な計算方法

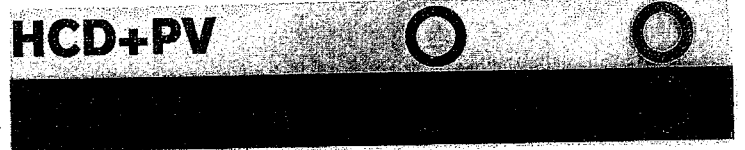
# 他の理論への応用

## 3次元 Chern-Simons ゲージ理論

[KN & T.Ebihara (1998)]

無限個の PV 場  $\rightarrow$  パリティ不変な正則化因子  
 $\epsilon_{\mu\nu\rho}$

Chern-Simons シフトのユニバーサリティ  $k \rightarrow k + rC_0$   
 $r = 0 \quad r = 1$



## 3次元 SUSY-YMCS

CS シフトが Kao et. al の結果と一致

[Y.Koiwa (1998)]

## 4次元 QCD [S.Chiantese (2001)]

Exact Renormalization Group Equation

ゲージ場と物質場の両方に無限個 PV

1-Loop  $\beta$  関数の計算